

## واپاشی مستقیم بوزون هیگز به $J/\psi(1S)$ بطريق ترکش

\*توفيق اوسيطي

گروه فيزيك، دانشكده علوم، دانشگاه رازى، مندوقي پستي: ۶۷۱۴۹۶۷۳۴۶، كرمانشاه - ايران

\*Email: a.osati1379@gmail.com

### مقاله‌ی پژوهشی

تاریخ دریافت مقاله: ۱۴۰۰/۸/۲۹ تاریخ پذیرش مقاله: ۱۴۰۰/۱۲/۹

### چکیده

در آشكارساز CMS نسبت‌های انشعاب بوزون هیگز مدل استاندارد به جفت‌های  $J/\psi(1S)$  و  $c\bar{c}$  به ترتیب برابر  $1.8 \times 10^{-3}$  و  $2.89 \times 10^{-2}$  است. به لحاظ نظری يكی از سناريوهای ممکن برای تولید مستقیم  $J/\psi(1S)$  اين است که بوزون هیگز در آغاز به جفت  $c\bar{c}$  واپاشی نماید و سپس در مرحله‌ی بعد هر يك از کوارک‌های  $c$  و  $\bar{c}$  به طور مستقیم به مزون  $J/\psi(1S)$  ترکش کنند. بر اساس اين سناريو در اين مقاله نسبت‌های واپاشی مستقیم بوزون هیگز مدل استاندارد به  $J/\psi(1S)$  بطريق ترکش مستقیم کوارک‌های  $c$  و  $\bar{c}$  با استفاده از نظریه اختلال مکانيک کوانتمي رنگ (pQCD) و با در نظر گرفتن حالت‌های قطبش طولي و عرضي  $J/\psi(1S)$  محاسبه شده است. نتایج حاصل از محاسبات ما برای نسبت واپاشی مستقیم بوزون هیگز به جفت  $J/\psi(1S)$  برابر  $1.563 \times 10^{-3}$  است که توافق بسیار خوبی با مقدار اندازه‌گيری شده‌ی آن در آزمایش CMS دارد. بنابراین می‌توان نتیجه گرفت که سهم غالب در واپاشی بوزون هیگز بوزون به مزون  $J/\psi(1S)$  ترکش مستقیم کوارک  $c$  و پادکوارک  $\bar{c}$  می‌باشد.

**کلیدواژه‌ها:** بوزون هیگز، نسبت انشعاب، آهنگ واپاشی، ترکش

## Direct decay of the Higgs boson $J/\psi(1S)$ via fragmentation

T. Osati\*

Department of Physics, Faculty of Science, Razi University, P.O.Box: 6714967346, Kermanshah - Iran

### Research Article

Received 20.11.2021, Accepted 28.2.2022

### Abstract

In the CMS detector, the branching fractions of Higgs boson to  $J/\psi(1s)$  and  $c\bar{c}$  pairs have been measured equal to  $1.8 \times 10^{-3}$  and  $2.89 \times 10^{-2}$ , respectively. Theoretically, one possible scenario for direct production  $J/\psi(1s)$  is that the Higgs boson initially decays into the pair of  $c\bar{c}$ . Then, in the next step, each of the  $c$  and  $\bar{c}$  directly fragments into  $J/\psi(1s)$  a meson. Based on this scenario, in this paper, the direct branching fractions of the standard model Higgs boson to  $J/\psi(1s)$  is calculated by direct fragmentation of  $c$  and  $\bar{c}$  using of perturbative Quantum-Chromodynamics(pQCD) and also taking account the longitudinal and transverse polarization states  $J/\psi(1s)$ . The results of our calculations for the direct branching fraction of the Higgs boson to a pair  $J/\psi(1s)$  equal to  $1.562 \times 10^{-3}$  agree well with the measured value in the CMS detector. Therefore, it can be concluded that the predominant contribution in the decay of the Higgs boson into the  $J/\psi(1s)$  meson is the direct fragment of  $c$  quark and antiquark  $\bar{c}$ .

**Keywords:** Higgs boson, Branching fraction, Decay rate, Fragmentation



جدول ۱. نسبت‌های انشعاب بوزون هیگر به همراه عدم قطعیت‌های نسبی آنها

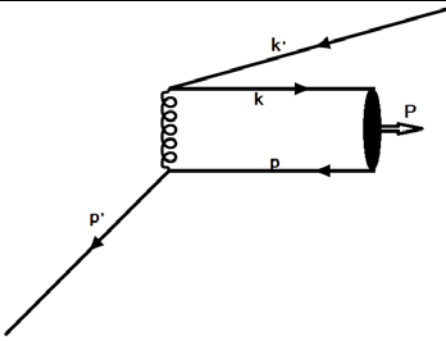
عدم قطعیت نسبی	نسبت انشعاب	مد واپاشی
$\pm 7.2\%$	$2.27 \times 10^{-3}$	$H \rightarrow \gamma\gamma$
$\pm 7.1\%$	$2.62 \times 10^{-3}$	$H \rightarrow ZZ$
$\pm 7.1\%$	$2.14 \times 10^{-1}$	$H \rightarrow W^+W^-$
$\pm 7.1\%$	$6.27 \times 10^{-2}$	$H \rightarrow \tau^+\tau^-$
$+7.1\%$ $-7.1\%$	$5.82 \times 10^{-1}$	$H \rightarrow b\bar{b}$
$+7.5\%$ $-7.2\%$	$2.89 \times 10^{-2}$	$H \rightarrow c\bar{c}$
$\pm 7.5\%$	$1.53 \times 10^{-3}$	$H \rightarrow Z\gamma$
$\pm 7.1\%$	$2.18 \times 10^{-4}$	$H \rightarrow \mu^+\mu^-$

اخیراً بررسی واپاشی بوزون‌های هیگر و  $Z$  به زوچ‌های غیرقطبی  $J/\psi$  و  $\gamma$  که در نهایت به جفت میون‌ها واپاشی می‌کنند توسط آشکارساز CMS واقع در LHC با استفاده از داده‌های جمع‌آوری شده از برخوردهای پروتون-پروتون در انرژی مرکز جرم  $\sqrt{s} = 13\text{TeV}$  انجام شده است و نسبت انشعاب در کanal واپاشی  $\psi/J/\psi$  با قطعیت بالای ۹۵٪ برابر  $1.8 \times 10^{-3}$  گزارش شده است [۱۴]. این مقدار برای حالت با قطبش کامل طولی  $J/\psi$  کاهش و برای حالت قطبش کامل عرضی ۱۰٪ افزایش نشان می‌دهد. این نتیجه‌ی تجربی انگیزه لازم برای محاسبه نسبت‌های واپاشی بوزون هیگر مدل استاندارد به میون  $J/\psi$  در چارچوب نظریه اختلال مکانیک کوانتمی رنگ (pQCD) را فراهم کرده است تا به این پرسش پاسخ داده شود که آیا پیش‌بینی‌های مدل استاندارد برای نسبت‌های واپاشی بوزون هیگر به میون  $J/\psi$  با نتایج تجربی سازگاری دارد؟ به لحاظ نظری یکی از سناریوهای ممکن، واپاشی مستقیم بوزون هیگر به  $J/\psi$  به طریق ترکش می‌باشد که در این مقاله تحت بررسی قرار می‌گیرد. مکانیسم واپاشی مستقیم بوزون هیگر مدل استاندارد به  $J/\psi$  را می‌توان بدین صورت تصور کرد که در آغاز بوزون هیگر به جفت کوارک‌های  $c\bar{c}$  واپاشی می‌کند همان‌طور که در جدول ۱ نشان داده شده است نسبت انشعاب  $c\bar{c} \rightarrow H^\circ$  برابر ۲۸۹٪ است. سپس در مرحله‌ی هادرонی شدن کوارک  $c$  و پادکوارک  $\bar{c}$  به میون  $J/\psi$  ترکش می‌کنند. فرایند ترکش توصیف می‌شود. توابع ترکش کوارک‌های سنگین به هادرон‌های سنگین را می‌توان با استفاده از pQCD محاسبه نمود [۱۵-۲۳]. در ادامه سازمان‌دهی این مقاله بدین شرح است که در بخش دوم تابع ترکش پادکوارک

## ۱. مقدمه

حدود ده سال از کشف بوزون هیگر مدل استاندارد می‌گزند در این مدت داده‌های حاصل از آزمایش‌های CMS و ATLAS به ابزاری قدرتمندی برای کشف مظاهر مختلف مدل استاندارد و بررسی مسایل ورای آن تبدیل شده است. مطالعه جامع کanal‌های گوناگون واپاشی و مدهای مختلف تولید بوزون هیگر نشان می‌دهد که خواص بوزون جدید کشف شده در سال ۲۰۱۲ میلادی در آزمایش‌های ATLAS و CMS با بوزون هیگر مدل استاندارد سازگار است [۱-۳]. اخیراً جفت-شدگی بوزون هیگر به کوارک‌های سنگین به طور مستقیم اندازه‌گیری شده است [۴-۷]. از نقطه‌نظر تجربی واپاشی‌های منحصر بفرد و نادر بوزون هیگر به میون‌ها، حالت‌های نهایی تمیزی را برای مطالعه‌ی جفت شدگی یوکاوا بوزون هیگر به کوارک‌ها و همچنین فیزیک ورای مدل استاندارد فراهم می‌سازد. مدهای غالب واپاشی بوزون هیگر،  $H^\circ \rightarrow ZZ^*$ ,  $H^\circ \rightarrow WW^*$ ,  $H^\circ \rightarrow c\bar{c}$ ,  $H^\circ \rightarrow b\bar{b}$  و  $H^\circ \rightarrow gg$  می‌باشد. همچنین بوزون هیگر با نسبت‌های واپاشی کمتر در کanal‌های  $\gamma\gamma \rightarrow H^\circ$ ,  $H^\circ \rightarrow \mu^+\mu^-$  و نیز  $H^\circ \rightarrow \gamma Z$  واپاشی می‌کند. از جمله کanal‌های جذاب برای کاوش جفت‌شدگی میدان هیگر به کوارک‌ها و لپتون‌ها در برخوردهای هادرونی به ترتیب  $b\bar{b} \rightarrow H^\circ$  و  $\tau^+\tau^- \rightarrow H^\circ$  است. در جدول ۱ نسبت‌های واپاشی و عدم قطعیت‌های نسبی آنها برای بوزون هیگر مدل استاندارد با جرم  $125\text{ GeV}$  داده شده است [۸، ۹]. اخیراً از طریق ترکیب نتایج حاصل از اجرای ۱ و ۲ CMS و ATLAS شواهد مستقیمی برای جفت شدگی بوزون هیگر به فرمیون‌ها از طریق واپاشی بوزون هیگر به لپتون‌های  $\tau$  مشاهده شده است [۱۰، ۱۱]. با تأکید بر دامنه‌ی هایی که در آن بوزون هیگر به طور غیرمستقیم به میون‌ها در حالت نهایی جفت می‌شود و بدون در نظر گرفتن تصحیحات نسبیتی ناشی از حرکت داخلی کوارک‌ها نسبت‌های انشعاب بوزون هیگر به جفت‌های  $\psi J/\psi$ ,  $\psi\gamma$  و  $\gamma\gamma$  محاسبه شده است [۱۲]. مکانیزمی که در آن بوزون هیگر به طور مستقیم به کوارک‌های  $c$  و  $b$  جفت می‌شود و سپس هادرونی شدن به کوارکونیوم‌های سنگین در میگین در مرجع [۱۳] توضیح داده شده است.





شکل ۱. نمودار فاینمن در اولین مرتبه اختلال برای ترکش پادکوارک  $\bar{c}$  به مزون  $J/\psi$ .

فرایند ترکش معمولاً به وسیله تابع ترکش توصیف می‌شود. تابع ترکش پاد کوارک سنگین  $\bar{c}$  در مقیاس اولیه انرژی  $\mu = \gamma m_c$ ، که برابر جرم ذرات در حالت نهایی است به صورت زیر تعریف می‌شود [۲۳-۱۹].

$$D_{\bar{c} \rightarrow J/\psi}(z, \mu_0) = \int |T_{\bar{c} \rightarrow J/\psi}|^2 \delta^{(3)}(\mathbf{p} + \mathbf{k} + \mathbf{k}' - \mathbf{p}') \quad (3)$$

$$d^3 p d^3 k d^3 k'$$

در رابطه اخیر  $T_{\bar{c} \rightarrow J/\psi}$  دامنه تولید مزون برداری  $J/\psi$  است که با استفاده از قضیه عامل‌بندی<sup>۱</sup> می‌توان آن را به صورت تلفیقی از بخش سخت دامنه پراکندگی  $T_M$  که اثرات فاصله کوتاه پوشش را می‌دهد و دامنه احتمال  $(x_i, q', \phi_M)$  که گذار کوارک-پادکوارک به حالت مقید را توصیف می‌نماید، نوشت.

$$T_{\bar{c} \rightarrow J/\psi}(P, p', k, k') = \int d[x] T_M \Phi_M(q', x_i) \quad (4)$$

که در آن

$$T_M(P, p', k, k') = \frac{\gamma \pi \alpha_s (\gamma m_c) C_F}{\sqrt{\gamma k_0 k_0 p_0 P_0}} \frac{\Gamma}{q' D_0} \quad (5)$$

$$\Phi_M(q', x_i) = \frac{f_M}{\gamma \sqrt{\gamma}} \delta\left(x_i - \frac{m_i}{M}\right) \quad (6)$$

که در آن  $D_0 = [P_0 + k_0 + k'_0 - p'_0]$  از پایستگی تکانه-انرژی ظاهر می‌شود و  $d[x] = d[x_1 - x_2 - x_3]$  است.  $d[x] = d[x_1 - x_2 - x_3]$  بخش اسپنوری دامنه است که از ترکیب اسپنورهای دیراک و بردارهای قطبش حاصل می‌شود. علاوه بر این‌ها  $C_F$  ضریب رنگ مزون و  $f_M$  ثابت واپاشی مزون،  $\alpha_s (2m_c)$  ثابت جفت شدگی روان و  $q' = (k + k')$  مربع چهار تکانه گلئون است.

$\bar{c}$  به  $J/\psi$  با در نظر گرفتن حالت‌های با قطبش طولی و عرضی در مقیاس انرژی اولیه  $\mu = \gamma m_c$  با استفاده از pQCD در مرتبه اول اختلال برحسب ثابت جفت شدگی رونده  $\alpha_s$  محاسبه می‌شود و با استفاده از معادله‌ی آلتارلی-پاریزی تا مقیاس  $\frac{m_H}{2}$  که برای واپاشی  $H^\circ$  مناسب است، تحول داده می‌شود. در بخش سوم، نسبت‌های انشعاب  $H^\circ$  به  $J/\psi$  بطريق ترکش مستقیم کوارک و پادکوارک چارم محاسبه می‌شود. و در نهایت در بخش ۴ بحث و نتیجه‌گیری ارایه شده است.

## ۲. محاسبه‌ی تابع ترکش $\bar{c} \rightarrow J/\psi \bar{c}$

نمودار فاینمن در اولین مرتبه اختلال برای ترکش پادکوارک  $\bar{c}$  به مزون  $J/\psi$  (دستگاه  $c\bar{c}$ ) در شکل ۱ نشان داده شده است. برای اجتناب از حرکت فرمی ذرات تشکیل‌دهنده‌ی مزون محاسبات را در چارچوب تکانه‌ی بی‌نهایت انجام می‌شود. هم‌چنین فرض می‌شود که تکانه‌ی عرضی پادکوارک اولیه به وسیله‌ی پادکوارک نهایی حمل می‌شود. پارامتر  $z$  به عنوان کسری از انرژی-تکانه‌ی پادکوارک اولیه که توسط هادرон نهایی حمل می‌شود به صورت زیر تعریف می‌گردد:

$$z = \frac{(E + P)_M}{(E + P)_Q} = \frac{(P_0 + P_1)}{(p_0 + p_1)} \quad (1)$$

که در آن  $P_0$  و  $P_1$  به ترتیب انرژی و تکانه‌ی طولی پادکوارک اولیه،  $p_0$  و  $p_1$  به ترتیب انرژی و تکانه‌ی طولی مزون است که در چارچوب تکانه‌ی بی‌نهایت به صورت  $z = \frac{E_M}{E_Q}$  ظاهر می‌گردد. کسر انرژی ذرات در گیر فرایند ترکش در حالت نهایی به صورت زیر تعریف می‌شود:

$$p_0 = \alpha z p'_0, \quad k_0 = \alpha z p'_0, \quad P_0 = z p'_0, \quad k'_0 = (1-z) p'_0, \quad (2)$$

که در آن  $m$  و  $M$  به ترتیب جرم پادکوارک سازنده و مزون  $\alpha = \frac{m}{M}$ ،  $p_0$ ،  $k_0$  انرژی پادکوارک و کوارک سازنده و  $k'_0$  انرژی پادکوارک خروجی است.



که در آن

$$const = \frac{4\pi^r \alpha_s^r (2m_c) C_F^r f_M^r \beta^r}{\gamma \alpha M^r} \quad (14)$$

با انتگرال گیری روی تکانه‌ی برداری  $p$  خواهیم داشت:

$$I_1 = \int \frac{p'_o \delta^{(r)}(p+k+k'-p') d^r p}{p'_o [(p_o + k_o + k'_o) - (p'_o)^r]} = \frac{p'_o}{p'_o [(p+k+k')^r]} \quad (15)$$

با قرار دادن  $p_o = \alpha z p'$  خواهیم داشت:

$$I_1 = \frac{1}{\alpha z} \frac{1}{[(p+k+k')^r]} \quad (16)$$

با قراردادن (16) در (13) خواهیم داشت:

$$D_{\bar{c} \rightarrow J/\psi}(z, \mu_o) = const \int \frac{1}{k_o k'_o \alpha z} \frac{[(p'.\epsilon)(k'.\epsilon) + (k'.p') - m_c^r]}{[(k+k')^r][(p+k+k')^r]} d^r k d^r k' \quad (17)$$

با تعريف  $d(z, k_T^r) = \frac{[(p'.\epsilon)(k'.\epsilon) + (k'.p') - m_c^r]}{z [(k+k')^r][(p+k+k')^r]}$  و با مساوی قراردادن  $k_T^r$  با  $p_T^r$  معادله (17) فقط تابعی از  $z$  و  $k_T^r$  خواهد شد و لذا خواهیم داشت:

$$D_{\bar{c} \rightarrow J/\psi}(z, \mu_o) = const \int \frac{d(z, k_T^r)}{\alpha k_o k'_o} d^r k d^r k' \quad (18)$$

با در نظر گرفتن این نکته که  $d^r k' = dk_L^r d^r k_T^r$  و  $d^r k \rightarrow dk_L^r$  و با توجه به این که در چارچوب تکانه‌ی عرضی ذرات می‌توان مقدار میانگین مربعی تکانه‌ی عرضی آن  $\langle k_T^r \rangle$  قرار داد. بنابراین خواهیم داشت:

$$I_1 = \int d^r k' d(z, k_T^r) = m_c^r k_o^r d(z, k_T^r) \quad (19)$$

با قرار دادن نتایج حاصل از انجام انتگرال‌های فضای فاز در (13)، تابع ترکش  $D_{\bar{c} \rightarrow J/\psi}(z, \mu_o)$  برابر است با:

$$D_{\bar{c} \rightarrow J/\psi}(z, \mu_o) = \frac{4\pi^r \alpha_s^r (2m_c) C_F^r f_M^r \beta^r}{\gamma \alpha M^r} \times d(z, k_T^r) \quad (20)$$

با قرار دادن (5) و (6) در (4) و انجام انتگرال گیری، برای دامنه‌ی تولید مزون برداری  $\psi / J$  خواهیم داشت:

$$T_{\bar{c} \rightarrow J/\psi}(P, p', k, k') = \frac{\pi \alpha_s (2m_c) f_M C_F}{\sqrt{4k_o k'_o p'_o P_o}} \frac{\Gamma}{q^r D_o} \quad (21)$$

با توجه به نمودار فاینممن شکل ۱، بخش اسینوری دامنه برابر است با:

$$\Gamma = \bar{v}(p') \gamma_\mu \not{e}(\not{P} + \not{M}) \gamma^\mu v(k') \quad (22)$$

از طریق جمع بستن روی اسپین حالت‌های اولیه و نهایی و متوسط‌گیری روی اسپین حالت اولیه و انجام تریس‌های لازم، مربع بخش اسینوری دامنه  $|\Gamma|^2$  برابر است با:

$$|\Gamma|^2 = \lambda M^r \left[ (p'.\epsilon)(k'.\epsilon) + (k'.p') - m_c^r \right] \quad (23)$$

در رابطه‌ی اخیر  $\epsilon$  بردار قطبش مزون می‌باشد که برای حالت‌های قطبش عرضی و طولی به ترتیب به صورت زیر داده می‌شود [۲۳]:

$$\epsilon_T^{\lambda=\pm 1} = \mp \frac{(0, 0, 1, \pm i)}{\sqrt{2}} \quad (24)$$

$$\epsilon_L^{\lambda=0} = \frac{(|\vec{p}|, E_M, 0, 0)}{M} \quad (25)$$

برای به دست آوردن تابع ترکش با قطبش طولی در رابطه‌ی (9) بردار قطبش طولی  $(\epsilon^L)^{(T)}$  و برای به دست آوردن تابع ترکش با قطبش عرضی به طریق مشابه بردار قطبش عرضی  $(\epsilon^T)^{(L)}$  را جاگذاری می‌کنیم. با قراردادن مربع بخش اسینوری دامنه  $|\Gamma|^2$  در مربع دامنه  $|T_{\bar{c} \rightarrow J/\psi}|^2$  خواهیم داشت:

$$|T_{\bar{c} \rightarrow J/\psi}|^2 = \frac{4\pi M^r \alpha_s^r (2m_c) C_F^r f_M^r}{\gamma k_o k'_o p'_o P_o} \frac{[(p'.\delta)(k'.\delta) + (k'.p') - m_c^r]}{[(k+k')^r][(p_o + k_o + k'_o - p'_o)^r]} \quad (26)$$

با قرار دادن مربع دامنه  $|T_{\bar{c} \rightarrow J/\psi}|^2$  در معادله (3) برای تابع ترکش خواهیم داشت:

$$D_{\bar{c} \rightarrow J/\psi}(z, \mu_o) = const \int \frac{1}{p_o p'_o k_o k'_o} \frac{[(p'.\epsilon)(k'.\epsilon) + (k'.p') - m_c^r]}{[(k+k')^r][(p_o + k_o + k'_o - p'_o)^r]} \times \delta^{(r)}(p+k+k'-p') d^r p d^r k d^r k' \quad (27)$$



$$GL_4 = z^r (-1 + \beta^r) (\alpha^r + \delta^r) \quad (37)$$

$$GL_5 = z^r \left( \begin{array}{l} 2\alpha\beta + \alpha^r (-1 + \beta^r) \\ \delta^r + \beta^r (-1 + \delta^r) \end{array} \right) \quad (38)$$

$$FL_1 = \beta^r \left( \begin{array}{l} 1 + 2z (-1 + \beta) + \\ z^r (1 - 2\beta + \beta^r + \delta^r) \end{array} \right)^r \quad (39)$$

$$FL_2 = -(1 + z) z \alpha^r \quad (40)$$

$$FL_3 = \alpha \left( \begin{array}{l} 1 + 2z (-1 + \beta) + \\ z^r (1 - 2\beta + \beta^r + \delta^r) \end{array} \right) \quad (41)$$

$$FL_4 = \beta \left( \begin{array}{l} 1 + 2z (-1 + \beta) + \\ z^r (1 - 2\beta + \beta^r + \delta^r) \end{array} \right) \quad (42)$$

در حالت غیرقطبی تابع ترکش به صورت زیر تعریف می‌شود:

$$D_{\bar{c} \rightarrow J/\psi}(z, \mu_0) = D_{\bar{c} \rightarrow J/\psi_L}(z, \mu_0) + D_{\bar{c} \rightarrow J/\psi_T}(z, \mu_0) \quad (43)$$

با جاگذاری  $D_{\bar{c} \rightarrow J/\psi_T}$  و  $D_{\bar{c} \rightarrow J/\psi_L}$  خواهیم داشت:

$$D_{\bar{c} \rightarrow J/\psi}(z, \mu_0) = \text{const} \frac{G(z)}{F(z)} \quad (44)$$

که در آن توابع  $G(z)$  و  $F(z)$  به ترتیب عبارتند از:

$$G(Z) = G_1 (G_2 + G_3 - G_4 + z^r (G_5 + G_6)) \quad (45)$$

$$F(z) = F_1 (F_2 + F_3 + F_4) \quad (46)$$

که در آن

$$G_1 = (-1 + z)^r z^r \quad (47)$$

$$G_2 = -1 + 2\beta^r - 2z^r \beta^r (\alpha^r + \delta^r) \quad (48)$$

$$G_3 = z^r (-3 + 4\beta^r) (\alpha^r + \delta^r) \quad (49)$$

$$G_4 = z (3\alpha^r - 8\alpha\beta + 4\beta^r + 4\delta^r) \quad (50)$$

$$G_5 = -8\alpha\beta + \alpha^r (4 - 2\beta^r) \quad (51)$$

$$G_6 = 8\delta^r - 2\beta^r (-1 + \delta^r) \quad (52)$$

$$F_1 = \beta^r \left( (1 + z (-1 + \beta))^r + z^r \delta^r \right)^r \quad (53)$$

$$F_2 = -(1 + z) z \alpha^r \quad (54)$$

$$F_3 = \alpha \left( (1 + z (-1 + \beta))^r + z^r \delta^r \right) \quad (55)$$

$$F_4 = \beta \left( (1 + z (-1 + \beta))^r + z^r \delta^r \right) \quad (56)$$

اگر در رابطه‌ی (13) ضربهای  $p'.e_T$  و  $k'.e_T$  قرار دهیم، رابطه‌ی (20) تابع ترکش با قطبش عرضی را به دست می‌دهد که شکل تحلیلی آن به صورت زیر می‌باشد.

$$D_{\bar{c} \rightarrow J/\psi_T}(z, \mu_0) = \text{const} \frac{G_T(z)}{F_T(z)} \quad (21)$$

که در آن  $G_T(z)$  و  $F_T(z)$  به ترتیب عبارتند از:

$$G_T(z) = -((-1 + z)^3 z^r ((-1 + z)^r \alpha^r + 2\alpha\beta (-1 + z) + \beta^r + (2 - 2z + z^r) \delta^r)) \quad (22)$$

$$F_T(z) = \beta^r (FT_1 + FT_2) \times \begin{pmatrix} -FT_3 + \alpha (FT_4 + FT_5) + \\ \beta (FT_6 + FT_7) \end{pmatrix} \quad (23)$$

که در آن

$$FT_1 = 1 + 2z (-1 + \beta) \quad (24)$$

$$FT_2 = z^r (1 - 2\beta + \beta^r + \delta^r) \quad (25)$$

$$FT_3 = (-1 + z) z \alpha^r \quad (26)$$

$$FT_4 = 1 + 2z (-1 + \beta) \quad (27)$$

$$FT_5 = z^r (1 - 2\beta + \beta^r + \delta^r) \quad (28)$$

$$FT_6 = 1 + 2z (-1 + \beta) \quad (29)$$

$$FT_7 = z^r (1 - 2\beta + \beta^r + \delta^r) \quad (30)$$

اگر در رابطه‌ی (13) ضربهای  $p'.e_L$  و  $k'.e_L$  قرار دهیم، رابطه‌ی (20) تابع ترکش با قطبش طولی را به دست می‌دهد که شکل تحلیلی آن به صورت زیر می‌باشد.

$$D_{\bar{c} \rightarrow J/\psi_L}(z, \mu_0) = \text{const} \frac{G_L(z)}{F_L(z)} \quad (31)$$

که در آن  $G_L(z)$  و  $F_L(z)$  به ترتیب عبارتند از:

$$G_L(z) = - (GL_1 + GL_2 - GL_3 + GL_4) \quad (32)$$

$$F_L(z) = FL_1^r (FL_2 + FL_3 + FL_4) \quad (33)$$

که آن

$$GL_1 = (-1 + z)^r z^r \quad (34)$$

$$GL_2 = 1 - 2\beta^r + z (\alpha^r - 2\alpha\beta + \delta^r) \quad (35)$$

$$GL_3 = 2z^r \beta^r (\alpha^r + \delta^r) \quad (36)$$



برای حفظ این شکل علی‌رغم وجود لگاریتم‌های بزرگ  $\frac{M_H}{m_c}$  که از نظریه اختلال ناشی می‌شود باید مقیاس عامل‌بندی  $\mu$  معرفی شود. با انتخاب مقیاس  $\mu$  از مرتبه‌ی جرم  $M_{J/\psi}$  از لگاریتم‌های بزرگ در آهنگ واپاشی زیر فرایندها  $\bar{\Gamma}$  می‌توان اجتناب کرد و از طریق حل معادلات تحول می‌توان از ظهور لگاریتم‌های بزرگ  $\frac{\mu}{m_c}$  در توابع ترکش ظاهر اجتناب کرد [۱۸].

$$\mu \frac{\partial}{\partial \mu} D_{i \rightarrow J/\psi}(z, \mu) = \sum_j \int_z^1 \frac{dy}{y} p_{i \rightarrow j} \left( \frac{z}{y}, \mu \right) D_{j \rightarrow J/\psi}(y, \mu) \quad (58)$$

در اینجا  $p_{i \rightarrow j}$  تابع آلتارلی-پاریزی برای انشعباب پارتون نوع  $i$  به پارتون نوع  $j$  و با کسر تکانه طولی  $x$  می‌باشد. برای مثال برای انشعباب  $c \rightarrow c$ , تابع انشعباب برای کوارک  $c$  با کسر انرژی بیشتر از جرم آن به صورت زیر داده می‌شود:

$$p_{c \rightarrow c}(x, \mu) = \frac{\alpha_s(\mu)}{2\pi} \left( \frac{1+x}{3(1-x)} + \delta(1-x) \right) \quad (59)$$

شرایط مرزی روی معادله تحول (۵۷) این است که تابع ترکش اولیه  $D_{i \rightarrow J/\psi}(z, \mu_0)$  در مقیاس اولیه  $\mu_0$  که از مرتبه‌ی جرم کوارک  $c$  است در دسترس باشد. به آسانی می‌توان مرتبه‌ی  $\alpha_s$  را برای سهم ترکش در تولید  $\psi/J$  در واپاشی بوزون هیگز مدل استاندارد ( $H^\circ$ ) بر شمرد. آهنگ واپاشی زیر فرایند  $\bar{\Gamma}$  برای تولید گلئون از مرتبه‌ی  $\alpha_s$  است در حالی که برای تولید کوارک‌ها از مرتبه‌ی ۱ می‌باشد. تابع ترکش گلئون به  $\psi/J$  از مرتبه‌ی  $\alpha_s^3$  و برای ترکش کوارک‌های سبک به  $\psi/J$  از مرتبه‌ی  $\alpha_s^4$  می‌باشد. در حالی که تابع ترکش کوارک  $c$  و یا پاد آن به  $\psi/J$  به صورتی که در بخش دوم محاسبه شده است از مرتبه‌ی  $\alpha_s^5$  می‌باشد. بنابراین سهم غالب در واپاشی  $H^\circ$  به  $\psi/J$  ترکش مستقیم کوارک  $c$  یا پاد آن می‌باشد. بنابراین تنها با نگه داشتن سهم‌های مربوط به کوارک  $c$  و پاد آن در رابطه‌ی (۵۶) خواهیم داشت:

$$\frac{d\Gamma(H^\circ \rightarrow J/\psi(E) + X)}{dz} = 2\hat{\Gamma}(H^\circ \rightarrow c\bar{c}) D_{b \rightarrow J/\psi}(z, \frac{M_{H^\circ}}{2}) \quad (60)$$

در (۵۹) عامل ۲ برای به حساب آوردن سهم ترکش پاد کوارک  $\bar{c}$  می‌باشد. به منظور اجتناب از ظهور لگاریتم‌های بزرگ در مرتبه‌های بالاتر اختلال، مقیاس عامل‌بندی را برابر

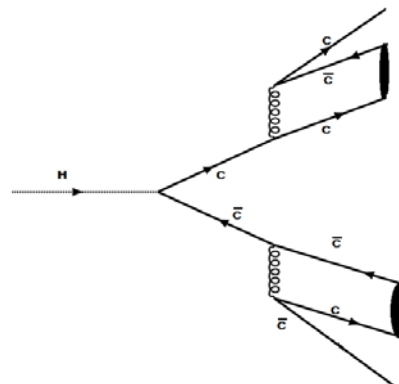
در اینجا  $\beta = \frac{\sqrt{k_T}}{M}$  و  $\delta = \frac{m_c}{M}$  است.

### ۳. محاسبه‌ی نسبت انشعباب بوزون هیگز به $\psi/\psi$

یکی از مدهای واپاشی  $H^\circ$ ، واپاشی آن به  $\psi/J$  است [۱۴]. برای واپاشی غیرانحصاری  $H^\circ$  به  $\psi/J$  در ابتدا  $H^\circ$  به جفت  $c\bar{c}$  واپاشی می‌کند و در مرحله بعد هر یک از کوارک‌های  $c$  و  $\bar{c}$  به  $\psi/J$  ترکش می‌کنند. شکل ۲ نمودار فاینمن مربوط به واپاشی بوزون هیگز در اولین مرتبه اختلال بطریق ترکش را نشان می‌دهد. عبارت کلی برای آهنگ واپاشی دیفرانسیلی تولید مزون  $\psi/J$  با چهار تکانه  $p$  در واپاشی  $H^\circ$  بطریق ترکش مستقیم به صورت زیر داده شده است [۱۸]:

$$d\Gamma(H^\circ \rightarrow J/\psi(p) + X) = \sum_i \int dz d\hat{\Gamma}(H^\circ \rightarrow i \left( \frac{p}{z} \right) + X, \mu) D_{i \rightarrow J/\psi}(z, \mu) \quad (57)$$

در این رابطه روی پارتون‌های نوع  $i$  جمع بسته شده است. کسر تکانه طولی  $\psi/J$  نسبت به پارتون می‌باشد. تعبیر فیزیکی رابطه‌ی (۵۶) این است که تولید مزون  $\psi/J$  با تکانه  $P$  می‌تواند از طریق تولید پارتون  $i$  با تکانه زیاد  $\frac{P}{z}$  و سپس ترکش آن در مرحله بعد به مزون  $\psi/J$  که کسر  $z$  از تکانه پارتون را حمل می‌کند، صورت می‌گیرد. عبارت (۵۶) برای آهنگ واپاشی دیفرانسیلی شکل خلاصه شده‌ای دارد. تمام وابستگی به انرژی  $\psi/J$  به طور معادل روی جرم  $M_H$  در آهنگ واپاشی زیر فرایند  $d\hat{\Gamma}$  می‌باشد در حالی که تمام وابستگی به جرم کوارک  $c$  در تابع ترکش  $D_{\bar{c} \rightarrow J/\psi}$  نهفته است.



شکل ۲. نمودار فاینمن در اولین مرتبه اختلال برای واپاشی بوزون هیگز به جفت مزون  $\psi/J$ .



جدول ۲. نسبت‌های انشعاب بوزون هیگز به مزون  $J/\psi$  در حالت موج S با مقادیر ورودی  $k_T = 1\text{ GeV}$ ,  $\alpha_s = 0.26$ ,  $m_c = 1.25\text{ GeV}$ . [۲۴]  $\text{Br}(H^0 \rightarrow c\bar{c}) = 0.258$ , [۲۴]  $M_{J/\psi} = 3.96\text{ GeV}$ , [۲۵]  $f_M = 0.580\text{ GeV}$

فرایند واپاشی	(Br)	CMS [۱۴]
$H^0 \rightarrow J/\psi J/\psi_L$	$1.252 \times 10^{-3}$	-
$H^0 \rightarrow J/\psi_T J/\psi_T$	$1.55 \times 10^{-5}$	-
$H^0 \rightarrow J/\psi J/\psi$	$1.563 \times 10^{-3}$	$1.563 \times 10^{-3}$

#### ۴. بحث و نتیجه‌گیری

در این مقاله نسبت‌های واپاشی بوزون هیگز مدل استاندارد به جفت مزون ( $1S$ )  $J/\psi$  در حالت موج S بطريق ترکش مستقييم کوارک‌های  $c$  و  $\bar{c}$  محاسبه شده است. برای اين منظور در بخش ۲ اين مقالهتابع ترکش پادکوارک  $\bar{c}$  به ( $1S$ )  $J/\psi$  در اولين مرتبه اختلال با استفاده از pQCD محاسبه شده است. در بخش ۳ نسبت انشعاب بوزون هیگز مدل استاندارد در واپاشی مستقييم به جفت مزون ( $1S$ )  $J/\psi$  با درنظر گرفتن قطبيش‌های عرضي و طولي محاسبه شده است که نتائج آن در جدول ۲ داده شده است. نتائج به دست آمده از محاسبات ما برای نسبت انشعاب بوزون هیگز به جفت ( $1S$ )  $J/\psi$  برابر  $1.563 \times 10^{-3}$  می‌باشد که توافق بسيار خوبی با مقدار به دست آمده برای آن با استفاده از داده‌های جمع‌آوري شده از برخوردهای پروتون-پروتون در انرژي مرکز جرم  $\sqrt{s} = 13\text{ TeV}$  به وسیله گروه همکار CMS است، دارد [۱۴]. همچنان محاسبات ما نشان می‌دهد که نسبت انشعاب هیگز به جفت ( $1S$ )  $J/\psi$  با قطبيش طولي يك مرتبه بزرگ‌بیشتر از واپاشی آن به جفت ( $1S$ )  $J/\psi$  با قطبيش عرضي است. علاوه بر اين نسبت انشعاب واپاشی مستقييم بوزون هیگز به جفت ( $1S$ )  $J/\psi$  با قطبيش طولي كامل، در مقاييسه با واپاشی آن به جفت ( $1S$ )  $J/\psi$  بدون قطبيش ۲۰ درصد کاهش نشان می‌دهد که با مقدار ۲۲ درصد گزارش شده توسط آشكاراساز CMS، توافق بسيار خوبی دارد از اينجا می‌توان نتيجه گرفت که سهام غالب در واپاشی مستقييم بوزون هیگز مدل استاندارد به جفت مزون ( $1S$ )  $J/\psi$  واپاشی هیگز به جفت  $c\bar{c}$  و سپس ترکش کوارک‌های  $c$  و  $\bar{c}$  به مزون ( $1S$ )  $J/\psi$  می‌باشد. عدم قطعيت روی محاسبه نسبت‌های انشعاب واپاشی مستقييم بوزون هیگز به حالت‌های ( $1S$ )  $J/\psi$  در محاسبات ما ناشی از عدم قطعيت در آهنگ واپاشی هیگز به جفت  $c\bar{c}$  است که به طور تقريري مابين  $-2\%$  تا  $+5\%$  است.

قاره داده می‌شود. در مرتبه پيش‌رو  $\alpha_s$ ، تنها بخش قطری در معادله (۵۷) باقی می‌ماند. بنابراین خواهیم داشت:

$$\frac{\partial}{\partial \mu} D_{\bar{c} \rightarrow J/\psi}(z, \mu) = \int_z^\infty \frac{dy}{y} p_{c \rightarrow c}(y, \mu) D_{\bar{c} \rightarrow J/\psi}(y, \mu) \quad (61)$$

با انتگرال‌گيري روی انرژي از معادله (۶۰)، آهنگ كل برای تولید غيرانحصراري  $J/\psi$  برابر است با:

$$\Gamma(H^0 \rightarrow J/\psi(E) + X) = 2\hat{\Gamma}(H^0 \rightarrow c\bar{c}) \times \int_0^\infty dz D_{\bar{c} \rightarrow J/\psi}(z, \frac{M_{H^0}}{2}) \quad (62)$$

با توجه به اين واقعيت که که در مرتبه پيش‌رو  $\alpha_s$ ، تابع انشعاب انتگرال  $\int_0^\infty dz p_{c \rightarrow c}(x, \mu) = 0$  را برآورده می‌سازد مقیاس ترکش را برابر  $3m_c$  قرار داده می‌شود. بنابراین معادله تحول (۵۹) بر اين نکته تأكيد دارد که احتمال كل ترکش ( $z, \mu$ ) با مقیاس  $\mu$  تغيير نمی‌کند. با تقسيم طرفين رابطه‌ی (۶۱) بر پنهانی واپاشی كل  $H^0$  خواهیم داشت:

$$\frac{\Gamma(H^0 \rightarrow J/\psi(E) + X)}{\Gamma_{tot}} = 2 \frac{\hat{\Gamma}(H^0 \rightarrow c\bar{c})}{\Gamma_{tot}} \int_0^\infty dz D_{\bar{c} \rightarrow J/\psi}(z, 3m_b) \quad (63)$$

در رابطه‌ی بالا  $\frac{\Gamma(H^0 \rightarrow J/\psi(E) + X)}{\Gamma_{tot}}$  نسبت انشعاب  $H^0$  به  $c\bar{c}$  و  $\frac{\hat{\Gamma}(H^0 \rightarrow c\bar{c})}{\Gamma_{tot}}$  نسبت انشعاب  $H^0$  به  $J/\psi$  و

مي‌باشد. چنان‌چه در رابطه‌ی (۵۶) توابع ترکش برای حالت‌های با قطبيش طولي و عرضي را جداگانه جاگذاري کنيم می‌توانيم نسبت‌های انشعاب بوزون هیگز مدل استاندارد به حالت‌های با قطبيش طولي و عرضي مزون آپسيليون را به صورت زير به دست آورد.

$$\frac{\Gamma(H^0 \rightarrow (J/\psi)_{LT}(E) + X)}{\Gamma_{tot}} = 2 \frac{\hat{\Gamma}(H^0 \rightarrow c\bar{c})}{\Gamma_{tot}} \int_0^\infty dz D_{\bar{c} \rightarrow (J/\psi)_{LT}}(z, 3m_c) \quad (64)$$

در جدول ۲ نسبت‌های انشعاب بوزون هیگز مدل استاندارد به مزون آپسيليون در حالت موج S با درنظر گرفتن قطبيش‌های عرضي و طولي داده شده است.

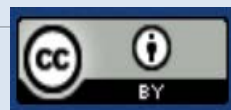


## مراجع

1. G. Aad, et al, (*ATLAS Collaboration, CMS Collaboration*), *Measurements of the Higgs boson production and decay rates and constraints on its couplings from a combined ATLAS and CMS analysis of the LHC pp collision data at  $\sqrt{s} = 7$  and 8 TeV*, *JHEP*, **08**, 45 (2016).
2. G. Aad, et al, (*ATLAS Collaboration, CMS Collaboration*), *Combined measurement of the Higgs boson mass in pp collisions at  $\sqrt{s} = 7$  and 8 TeV with the ATLAS and CMS experiments*, *Phys. Rev. Lett.*, **114**, 191803 (2015).
3. CMS Collaboration, *Combined measurements of Higgs boson couplings in proton–proton collisions at  $\sqrt{s} = 13$  TeV*, *Eur. Phys. J. C.*, **79**, 421 (2019).
4. M. Aaboud, et al, (*The ATLAS Collaboration*), *Observation of Higgs boson production in association with a top quark pair at the LHC with the ATLAS detector*, *Phys. Lett. B*, **784**, 173 (2018).
5. A.M. Sirunyan, et al, (*CMS Collaboration*), *Observation of Higgs boson decay to bottom quarks*, *Phys. Rev. Lett.*, **121**, 121801 (2018).
6. M. Aaboud, et al, (*ATLAS Collaboration, Phys*), *Observation of  $H \rightarrow b\bar{b}$  decays and VH production with the ATLAS detector*, *Phys. Lett. B*, **786**, 59 (2018).
7. S.Y. Choi, J.S. Lee, J.P. Park, *Decays of higgs bosons in the standard model and beyond*, *Prog. Part. Nucl. Phys.*, **120**, 103880 (2021).
8. A.M. Sirunyan, et al, (*CMS Collaboration*), *Observation of the higgs boson decay to a pair of  $\tau$  leptons with the CMS detector*, *Phys. Lett. B*, **779**, 283 (2018).
9. S. Heinemeyer, et al, *Handbook of LHC Higgs Cross Sections: 3. Higgs Properties: Report of the LHC Higgs Cross Section Working Group*, *CERN Report 2013*, 004 (2013).
10. D. de Florian, et al, *Handbook of LHC Higgs Cross Sections: 4. Deciphering the Nature of the Higgs Sector*, *CERN Report 2017*, 002 (2016).
11. V. Kartvelishvili, A.V. Luchinsky, A. A. Novoselov, *Double vector quark in production in exclusive higgs boson decays*, *Phys. Rev. D*, **79**, 114015 (2009).
12. G. Bodwin, et al, *Higgs boson decays to quarkonia and the  $Hc\bar{c}$  coupling*, *Phys. Rev. D*, **88**, 053003 (2013).
13. A.M. Sirunyan, et al, (*CMS Collaboration*), *Search for higgs and Z boson decays to  $J/\Psi$  or  $\Upsilon$  pairs in the four-muon final state in proton-proton collisions at  $\sqrt{s} = 13$  TeV*, *Phys. Lett. B*, **797**, 134811 (2019).
14. M. Suzuki, *Spin property of heavy hadron in heavy-quark fragmentation*, *Phys. Rev. D*, **33**, 676 (1986).
15. E. Bratten, T.C. Yuan, *Gluon fragmentation into heavy quarkonium*, *Phys. Rev. Lett.*, **71**, 1673 (1993).
16. E. Bratten, K.C. Cheung, T.C. Yuan, *QCD fragmentation functions for  $Bc$  and  $Bc^*$  production*, *Phys. Rev. D*, **48**, 5049 (1993).
17. E. Bratten, K.C. Cheung, T.C. Yuan,  *$Z^0$  Decay into charmonium via charm quark fragmentation*, *Phys. Rev. D*, **48**, 4230 (1993).
18. M.A. Gomshi Nobary, R. Sepahvand, *Fragmentation production of triply heavy baryons at the CERN LHC*, *Phys. Rev. D*, **71**, 034024 (2005).
19. M.A. Gomshi Nobary, R. Sepahvand, *An investigation of triply heavy baryon production at hadron colliders*, *Nucl. Phys. B*, **741**, 34 (2006).
20. R. Sepahvand, S. Dadfar, *NLO corrections to c and b-quark fragmentation into  $j/\psi$  and  $\gamma$* , *Phys. Rev. D*, **95**, 034012 (2017).
21. R. Sepahvand, S. Dadfar, *One loop correction fragmentation function of 1S wave charmed mesons*, *Nucl. Phys. A*, **960**, 36 (2017).
22. G.R. Boroun, T. Osati, S. Zarrin, *An approximation approach to the evolution of the fragmentation function*, *IJTP*, **54**, 3831 (2015).
23. P.A. Zyla, et al, *Review of particle physics*, *Prog. Theor. Exp. Phys.*, 2020, 083C01 (2020).
24. D.S. Hawng, *Gwang-Hee. Kim, Decay constant ratios  $\frac{f_{\eta_c}}{f_{J/\psi}}$  and  $\frac{f_{\eta_b}}{f_\pi}$* , *Z. Phys. C*, **76**, 107 (1997).
25. M. Aaboud, et al, (*The ATLAS collaboration*), *Evidence for the  $H \rightarrow b\bar{b}$  decay with ATLAS detector*, *JHEP*, **12**, 024 (2017).

## COPYRIGHTS

©2021 The author(s). This is an open access article distributed under the terms of the Creative Commons Attribution (CC BY 4.0), which permits unrestricted use, distribution, and reproduction in any medium, as long as the original authors and source are cited. No permission is required from the authors or the publishers.



استناد به این مقاله

توفيق اوسطي (۱۴۰۲)، واپاشی مستقیم بوزن هیگر به  $(\psi)$  / J بطريق تركش، ۸-۱، ۱۰۳

DOI: 10.24200/NST.2023.1371

Url: [https://jonsat.nstri.ir/article\\_1371.html](https://jonsat.nstri.ir/article_1371.html)